

УДК 539.3

ВПЛИВ КОНТАКТУ БЕРЕГІВ ДВОХ СПІВВІСНИХ ТРІЩИН НА НАПРУЖЕНИЙ СТАН ТРАНСВЕРСАЛЬНО-ІЗОТРОПНОЇ ПЛАСТИНИ В УМОВАХ ЧИСТОГО ЗГИНУ

Віктор ОПАНАСОВИЧ¹, Роман СЕЛІВЕРСТОВ²

¹Львівський національний університет імені Івана Франка,
вул. Університетська, 1, 79000 Львів, Україна

²Львівський регіональний інститут державного управління Національної
академії державного управління при Президентові України,
вул. Сухомлинського, 16, 79491 Львів, Україна

Використовуючи теорію згину пластин шостого порядку, проаналізовано напруженій стан трансверсально-ізотропної пластини з двома колінеарними наскрізними тріщинами, береги яких контактиують під час деформування пластини. З'ясовано, що врахування контакту берегів тріщин знижує коефіцієнти інтенсивності напруженень, контактне зусилля не стало вздовж тріщини, як у класичній теорії згину, а збільшується з наближенням до вершини тріщини.

Ключові слова: трансверсально-ізотропна пластина, тріщина, згин, контактне зусилля.

Напруженій стан ізотропних пластин з тріщинами, береги яких не контактиують під час згину пластини, достатньо проаналізований. Результати цих досліджень зібрані в [1]. В монографії [2] показано спосіб поширення цих результатів на випадок трансверсально-ізотропних пластин у межах уточнених теорій шостого порядку. Врахування контакту берегів тріщини при згині пластини за класичною теорією розглянуто в працях [3, 4], вважалося, що контакт відбувається вздовж лінії на стиснутому боці пластини. У [5, 6] методом скінчених елементів досліджено вплив закриття тріщини на напруженій стан пластини Рейснера в умовах чистого згину, причому в [6] ділянка контакту не вважалася наперед лінійною, а визначалася в процесі розв'язування задачі. Мета нашої праці, – застосовуючи теорію згину пластин типу Тимошенка [7] і підхід, запропонований в [8, 9], дослідити коефіцієнти інтенсивності напруженень і моментів у вершинах двох співвісних тріщин, береги яких взаємодіють під час деформування пластини в розумінні праць [3–5].

Формулювання задачі. Розглянемо безмежну трансверсально-ізотропну пластину завтовшки h , ослаблену двома співвісними прямолінійними наскрізними тріщинами завдовжки $2l$ кожна і з відстанню $2c$ між їхніми сусідніми (внутрішніми) вершинами. До берегів тріщин прикладені самозрівноважені сталі згинальні моменти M , а на нескінченності навантаження немає. Вважаємо, що під час деформування пластини береги тріщин контактиують вздовж лінії на її стиснутому боці (поверхня $z = h/2$).

Зіставимо серединну площину пластини (площину ізотропії) з площею xOy декартової системи координат $Oxy\bar{z}$ так, щоб береги тріщин були паралельними до осі Ox , а початок координат був посередині відрізу, який сполучає внутрішні вершини тріщин. У геометричних центрах тріщин, які визначаються координатами $(\mp(c+l); 0; 0)$, виберемо локальні системи координат $O_k x_k y_k$ ($k = 1, 2$), осі $O_k x_k$ яких спрямовані вздовж берегів тріщин.

Розв'язком сформульованої задачі є суперпозиція двох розв'язків [3, 8]: плоскої задачі теорії пружності з краївими умовами

$$\sigma_{y_k}^{\pm} + i\sigma_{x_k y_k}^{\pm} = -T^{(k)}/h \quad (|x_k| < l, \quad k = 1, 2), \quad (1)$$

та задачі про згин пластини за таких краївих умов:

$$M_{y_k}^{\pm} + iH_{x_k y_k}^{\pm} = hT^{(k)}/2 - M, \quad Q_{y_k}^{\pm} = 0 \quad (|x_k| < l, \quad k = 1, 2), \quad (2)$$

де σ_{y_k} , $\sigma_{x_k y_k}$ – компоненти тензора напружень у локальній системі координат; $T^{(k)}$ – невідомі контактні зусилля (вважаємо, що $T^{(k)} > 0$, тобто контакт відбувається вздовж усієї довжини тріщини); індекси “+” і “–” позначають граничні значення функцій при $y_k \rightarrow \pm 0$.

Крім того, повинні виконуватись умови контакту

$$\left[\frac{\partial v_k}{\partial x_k} \right]_n^+ - \left[\frac{\partial v_k}{\partial x_k} \right]_n^- + \left(\left[\frac{\partial v_k}{\partial x_k} \right]_3^+ - \left[\frac{\partial v_k}{\partial x_k} \right]_3^- \right)_{\tilde{z}=\frac{h}{2}} = 0. \quad (3)$$

Тут v_k – компонента вектора переміщення в локальній системі координат $O_k x_k y_k$ у напрямі осі $O_k y_k$; індекси “п” і “з” позначають величини, пов'язані відповідно з плоскою задачею теорії пружності і задачею згину пластини.

Зведення задачі до системи інтегральних рівнянь. Розв'язок плоскої задачі теорії пружності для загального випадку розташування тріщин у пластині наведено в [10]. У випадку двох співвісних тріщин він набуде вигляду

$$T^{(k)} = -\frac{h}{\pi} \sum_{j=1}^2 \int_{-l}^l K_{kj}(t, x_k) g_j(t) dt \quad (k = 1, 2), \quad (4)$$

де

$$g_j(x) = \frac{E}{4} \frac{\partial}{\partial x_j} [v^+ - v^-]; \quad (5)$$

$$K_{jj}(t, x_k) = \frac{1}{t - x_j}; \quad K_{kj}(t, x_k) = \frac{1}{t - x_k + 2(-1)^j(l - c)} \quad (k \neq j);$$

E – модуль пружності матеріалу пластини в площині ізотропії.

Згин пластини досліджується за теорією, запропонованою І. О. Прусом [7], визначальні співвідношення якої запишемо так:

$$M_{y_k} + iH_{x_k y_k} = m \left[\Phi_k(z_k) + \overline{\Phi_k(z_k)} \right] + n \left[z_k \overline{\Phi'_k(z_k)} + \overline{\Psi_k(z_k)} \right] +$$

$$+\rho \left[2\overline{\Phi_k''(z_k)} + i \frac{\partial^2 \Omega_k(z_k, \bar{z}_k)}{\partial z_k^2} \right]; \quad (6)$$

$$Q_{x_k} - i Q_{y_k} = -2D \left[2\overline{\Phi_k'(z_k)} - i \frac{\partial \Omega_k(z_k, \bar{z}_k)}{\partial z_k} \right], \quad (7)$$

$$\begin{aligned} \frac{\partial}{\partial x}(u_k + iv_k) = \frac{h}{2} & \left\{ 2\operatorname{Re} \Phi_k(z_k) + z_k \overline{\Phi_k'(z_k)} + \overline{\Psi_k(z_k)} + \right. \\ & \left. + \frac{\rho}{n} \left[2\overline{\Phi_k''(z_k)} + i \frac{\partial^2 \Omega_k(z_k, \bar{z}_k)}{\partial \bar{z}_k^2} + i \frac{k_*^2}{4} \Omega_k(z_k, \bar{z}_k) \right] \right\}, \end{aligned} \quad (8)$$

де $m = -D(1 + \nu)$; $n = D(1 - \nu)$; $\rho = \frac{4D}{k_*^2}$; $D = \frac{Eh^3}{12(1 - \nu^2)}$; $z_k = x_k + iy_k$;

$\Phi_k(z_k)$, $\Psi(z)$ – комплексні потенціали типу Колосова-Мусхелішвілі; $\Omega_k(z_k, \bar{z}_k)$ – функція, яка задоволяє рівняння Гельмгольца

$$4 \frac{\partial^2 \Omega_k(z_k, \bar{z}_k)}{\partial z_k \partial \bar{z}_k} = k_*^2 \Omega_k(z_k, \bar{z}_k), \quad k_*^2 = \frac{12G'}{h^2 G};$$

G і G' – модулі зсуву матеріалу пластини відповідно в площині ізотропії та в перпендикулярному до неї напрямі. Зазначимо також, що співвідношення (8) записане для основи пластини $\tilde{z} = h/2$, уздовж якої береги тріщин взаємодіють.

Врахувавши результати праць [6, 8] і принцип суперпозиції розв'язків [10], комплексний потенціал $\Phi_k(z_k)$ та функцію $\Omega_k(z_k, \bar{z}_k)$ шукаємо у вигляді

$$\begin{aligned} \Phi_k(z_k) &= \frac{1}{2\pi} \sum_{j=1}^2 \int_{-l}^l \frac{f_j(t)}{t - z_{kj}} dt; \\ \Omega_k(z_k, \bar{z}_k) &= \frac{2}{\pi} \sum_{j=1}^2 \operatorname{Im} \int_{-l}^l \frac{w_{kj} K_1(w_{kj})}{t - z_{kj}} f_j(t) dt, \end{aligned}$$

де $z_{kj} = x_k + x_k^0 - x_j^0$; x_k^0 – абсциса центру k -ї тріщини; $K_1(x)$ – функція Макдональда першого порядку; $w_{kj} = k_* \sqrt{(t - z_{kj})(t - \bar{z}_{kj})}$, $f_j(t)$ – шукані дійсні функції.

На підставі формул (8) та залежності (5) для плоскої задачі теорії пружності, з умови (3) знайдемо зв'язок між функціями $g_j(x)$ і $f_j(x)$

$$g_j(x) = -\frac{Eh}{2(1 - \nu)} f_j(x). \quad (9)$$

Використавши розв'язок задачі згину пластини з двома співвісними тріщинами без врахування контакту їхніх берегів [8] і розв'язок плоскої

задачі теорії пружності (4) шляхом задоволення краївих умов (2) та з врахуванням того, що напружене-деформований стан пластин симетричний щодо осі Oy , одержимо систему сингулярних інтегральних рівнянь стосовно невідомої функції $\rho(x) = f_1(x_1/l) = -f_2(-x_1/l)$, яка після зведення інтегрування до проміжку $[-1; 1]$ і доповнення її умовами однозначності переміщень при обході тріщин по замкнутому контурі матиме вигляд

$$\begin{cases} \frac{m_1}{\pi} \int_{-1}^1 \left[\frac{m_2 + 2\tilde{K}_2(|t-x|/\lambda)}{t-x} + \frac{m_2 + 2\tilde{K}_2(|t-x+\gamma|/\lambda)}{t-x+\gamma} \right] \rho(t) dt = \frac{2M}{n}; \\ \int_{-1}^1 \rho(t) dt = 0 \quad (|x| < 1), \end{cases} \quad (10)$$

де $m_1 = 4/(1-\nu)$; $m_2 = 3+2\nu$; $\lambda = h/(l\sqrt{12G'/G})$; $\gamma = 2(1+c/l)$; $\tilde{K}_2(x) = K_2(x) - 2/x^2$; $K_2(x)$ – функція Макдональда другого порядку.

Розв'язуючи СІР (6.10), треба стежити, щоб контактні тиски $T^{(k)}$ були додатними вздовж кожної тріщини. В протилежному випадку потрібно змінювати формулування задачі.

Числовий аналіз результатів і висновки. Проаналізовано поведінку коефіцієнтів інтенсивності згинальних моментів і розподіл контактного тиску вздовж тріщин, розв'язавши систему інтегральних рівнянь (10) з використанням методу механічних квадратур. Зведені коефіцієнти інтенсивності згинальних моментів обчислювали за формулою

$$\tilde{K}_M^\pm = -K_M^\pm/(M\sqrt{l}) = \mp 2q\tilde{\rho}(\pm 1), \quad \tilde{\rho}(x) = n\sqrt{1-x^2}\rho(x)/(2M),$$

коефіцієнти інтенсивності напружень пов'язані з ними співвідношенням

$$k_1^\pm = -6K_M^\pm/h, \quad (11)$$

яке випливає з (9) та означення коефіцієнтів інтенсивності, а вираз для зведеного контактного тиску $\tilde{T} = hT/(2M)$ набуде вигляду

$$\tilde{T} = -\frac{6q}{S} \sum_{s=1}^S \left[\frac{1}{T_s - X_r} + \frac{1}{T_s - X_r + (-1)^r \gamma} \right] \tilde{\rho}(T_s) \quad (r = 1, 2, \dots, S-1),$$

де S – кількість вузлів методу механічних квадратур;

$$T_s = \cos \frac{\pi(2s-1)}{2S}; \quad X_r = \cos \frac{\pi r}{S};$$

$$\rho(1) = \frac{1}{S} \sum_{s=1}^S (-1)^{s+1} \rho(T_s) \operatorname{ctg} \frac{(2s-1)\pi}{4S};$$

$$\rho(-1) = \frac{1}{S} \sum_{s=1}^S (-1)^{s+S} \rho(T_s) \operatorname{tg} \frac{(2s-1)\pi}{4S}.$$

Результати числового аналізу задачі для випадку $\nu = 0,3$ показано на рис. 1–3. Щодо впливу параметра λ і відстані між тріщинами на напружений стан пластиини, то якісно він такий самий, як і при нехтуванні контактом берегів тріщин [10]. Врахування контакту берегів тріщин суттєво зменшує значення зведеніх коефіцієнтів інтенсивності моментів (у 2–3 рази), але водночас зумовлює появу коефіцієнтів інтенсивності напруженій. Графічні залежності для них не наведені, оскільки їх можна обчислити безпосередньо на підставі співвідношення (11). Як видно з рис. 1, для пластиини нульової товщини контактний тиск не змінюється вздовж тріщини, що узгоджується з результатами згину пластиини за класичною теорією [3].

При $\lambda > 0$ поблизу вершин

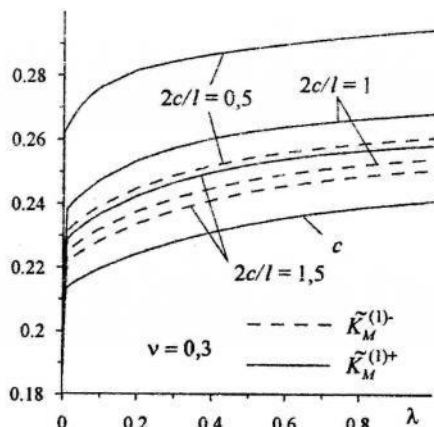


Рис. 2

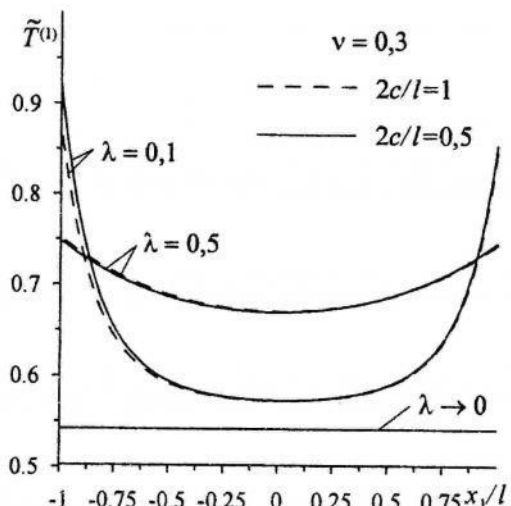


Рис. 1

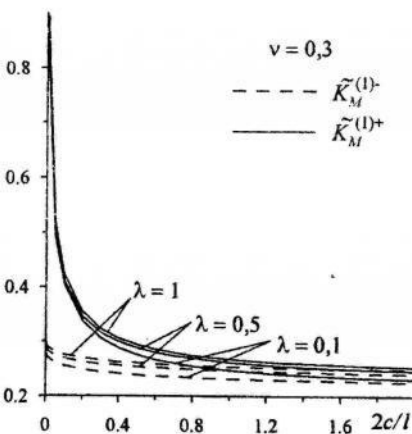


Рис. 3

тріщин \tilde{T} спадає зі зменшенням λ , у середній частині тріщини – зростає, причому у зовнішніх вершинах він більший, ніж у внутрішніх. Зазначимо також, що вплив відстані між тріщинами на контактний тиск незначний порівняно з впливом параметра λ . При $c \rightarrow \infty$ результати збігаються з одержаними для випадку однієї тріщини [9].

1. Справочник по коефіцієнтам інтенсивності напруженій: В 2-х т. / Под ред. Ю. Мураками. – М., 1990.

2. Мазурак Л. П., Бережницкий Л. Т. Изгиб трансверсально-изотропных пластин с дефектами типа трещин. – К., 1990.
3. Шацький І. П. Згин пластиини, ослабленої розрізом з контактуючими берегами // Доп. АН УРСР. Сер. А. Фіз.-мат. та техн. науки. – 1988. – № 7. – С. 49–51.
4. Kwon Y. W. Finite element analysis of crack closure in plate bending // Comp. and Struct. – 1989. – Vol. 32. – N 6. – P. 1439–1445.
5. Heming F. S. Sixth order analysis of crack closure in bending of an elastic plate // Int. J. of Fracture. – 1980. – Vol. 16 – N 4. – P. 289–304.
6. Joseph P. F., Erdogan F. Surface crack problems in plates // Int. J. of Fracture. – 1989. – Vol. 41. – P. 105–131.
7. Прусов И. А. Метод сопряжения в теории плит. – Минск, 1975.
8. Опанасович В. К., Селіверстов Р. Г. Згин плити з двома рівними прямолінійними колінеарними тріщинами за теорією Рейснера // Фіз.-хім. механіка матеріалів. – 2001. – № 1. – С. 53–56.
9. Опанасович В. К., Новосад В. П., Селіверстов Р. Г. Врахування контакту берегів тріщини під час згину трансверсально-ізотропної пластиини // Механіка і фізика руйнування будівельних матеріалів та конструкцій: Збірник наукових праць. – Вип. 5 / За заг. ред. О. Є. Андрейківа, Й. Й. Лучка, В. В. Божидарника. – Львів. – 2002. – С. 148–153.
10. Панасюк В. В., Саєрук М. П., Дацьшин А. П. Распределение напряжений около трещин в пластинах и оболочках. – К., 1976.

THE INFLUENCE OF CLOSURE OF TWO COLLINEAR CRACKS ON THE STRESS STATE OF TRANSVERSAL-ISOTROPIC PLATE UNDER PURE BENDING

Viktor Opanasovych¹, Roman Seliverstov²

¹*Ivan Franko National University of Lviv,
Universitetska Str., 1, 79000 Lviv, Ukraine*

²*Lviv Regional Institute of Public Administration of the NAPA
Sukhomlynskoho Str., 16, 79491 Lviv, Ukraine*

Using Prusov's plate bending theory the stress state of transversal-isotropic plate with two collinear through cracks under pure bending is considered at the assumption of crack closure along line on compressed side. It is obtained that interaction between crack faces lead to decreasing of intensity of bending moments and to appearing plane stresses. The contact force is not constant as in the frames of classical theory and reach maximum value near the crack tips.

Key words: transversal-isotropic plate, crack, bending, contact force.

Стаття надійшла до редколегії 08.06.2005
Прийнята до друку 22.11.2006